

# Estratégias de Controle para um Manipulador Plano com Dois Graus de Liberdade

Ígor Yamamoto, Miguel Becker

**Abstract**—Este trabalho apresenta técnicas de controle não-linear aplicadas a um manipulador robótico planar com dois graus de liberdade. Para o projeto do controlador foi utilizado a técnica de realimentação linearizante e também por modos deslizantes, ambos com objetivo de seguimento de referência de uma trajetória pré-estabelecida. Neste documento, as etapas de projeto de controle são apresentadas, partindo do modelo matemático até chegarmos aos resultados dos seguimentos de trajetória.

**Keywords**—Robótica, controle não-linear, geração de trajetória, realimentação linearizante.

## I. INTRODUÇÃO

Manipuladores robóticos são utilizados em uma vasta gama de aplicações, tendo foco principal na robótica industrial. A análise consiste na aplicação de técnicas de controle que permitam o seguimento de trajetórias considerando as não-linearidades inerentes ao sistema. Na Figura 1 podemos observar um exemplo deste tipo de manipulador.

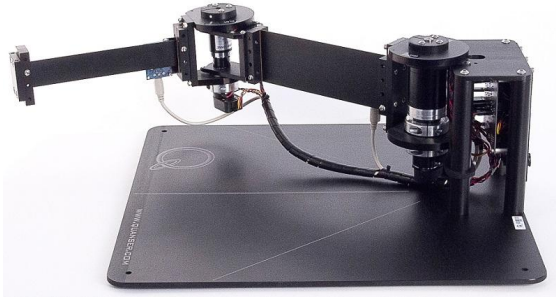


Fig. 1. Exemplo de um manipulador robótico

Esse trabalho tem como objetivo representar o modelo do sistema por equações de estado, estudar a sua dinâmica (equilíbrios, estabilidade dos equilíbrios, e depois projetar controladores utilizando as técnicas de controle não-linear aprendidas durante a disciplina de Sistemas Dinâmicos. A seguir serão apresentados o modelo matemático do sistema e a análise dos seus equilíbrios. Depois será apresentada a cinemática direta e inversa do manipulador, necessárias para o seguimento de trajetória. E por fim é feito o projeto dos controladores e as análises de malha fechada, junto com a conclusão do trabalho.

## II. MODELO MATEMÁTICO

O modelo dinâmico do manipulador robótico é dado pela seguinte equação diferencial:

$$M(q)\ddot{q} + V(q, \dot{q}) + G(q) = \tau \quad (1)$$

onde

- $M(q) = \begin{bmatrix} m_{11} & m_{12} \\ m_{21} & m_{22} \end{bmatrix}$  representa a matriz de inércia
- $V(q, \dot{q})$  representa os termos centrífugos (relacionados às forças de Coriolis)
- $G(q)$  representa os termos relacionados às forças gravitacionais
- $\tau = [\tau_1 \ \tau_2]^T$  é o torque aplicado nas juntas
- $q = [\theta_1 \ \theta_2]^T$ ,  $\dot{q} = [\dot{\theta}_1 \ \dot{\theta}_2]^T$  e  $\ddot{q} = [\ddot{\theta}_1 \ \ddot{\theta}_2]^T$  são as variáveis de junta

Os termos da matriz de inércia são:

$$\begin{aligned} m_{11} &= I_1 + I_2 + m_1 l_1^2 + (m_2 + m_p) L_1^2 + \\ &\quad + m_2 (l_2^2 + L_2^2) + 2L_1(m_2 l_2 + m_p L_2) \cos(\theta_2) \\ m_{12} &= m_{21} = I_2 + m_2 l_2^2 + m_p L_2^2 + \\ &\quad + L_1(m_2 l_2 + m_p L_2) \cos(\theta_2) \\ m_{22} &= I_2 + m_2 l_2^2 + m_p L_2^2 \end{aligned}$$

E juntando os termos centrífugos e gravitacionais  $H(q, \dot{q}) = V(q, \dot{q}) + G(q)$ , temos:

$$\begin{aligned} h_1 &= -L_1(m_2 l_2 + m_p L_2) \sin(\theta_2) (2\dot{\theta}_1 \dot{\theta}_2 + \dot{\theta}_2^2) + \\ &\quad + (m_1 l_1 + (m_2 + m_p) L_1) g \cos(\theta_1) + \\ &\quad + (m_2 l_2 + m_p L_1) g \cos(\theta_1 + \theta_2) \\ h_2 &= L_1(m_2 l_2 + m_p L_2) \sin(\theta_2) \dot{\theta}_2^2 + \\ &\quad + (m_2 l_2 + m_p L_1) g \cos(\theta_1 + \theta_2) \end{aligned}$$

As massas ( $m_1, m_2$ ) são de 2.2 kg, os comprimentos ( $L_1, L_2$ ) têm 0.6 m, os comprimentos ( $l_1, l_2$ ) têm 0.3 m e os momentos de inércia ( $I_1, I_2$ ) são ambos de 0.066 kg.m<sup>2</sup>. A aceleração da gravidade utilizada é  $g = 9.81$  m/s<sup>2</sup>.

Os ângulos de junta ( $\theta_1, \theta_2$ ) são ilustrados na Figura 2

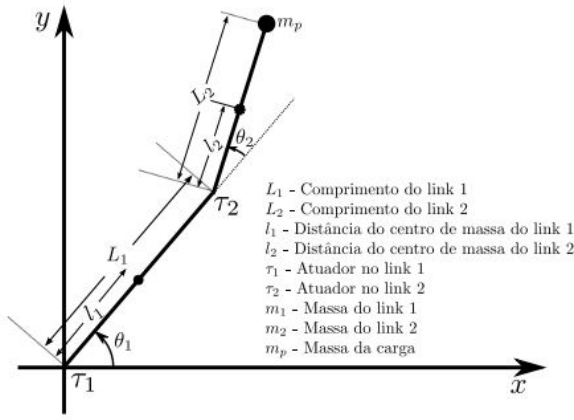


Fig. 2. Manipulador planar com 2 graus de liberdade

### III. ANÁLISE DOS EQUILÍBRIOS

Para que o sistema fique em equilíbrio é necessário que as derivadas dos seus estados sejam nulas. De acordo com essa condição, as equações do sistema reduzem-se à:

$$\begin{aligned} A_1 \cos(\theta_1) + A_2 \cos(\theta_1 + \theta_2) &= \tau_1 \\ A_2 \cos(\theta_1 + \theta_2) &= \tau_2 \end{aligned}$$

No qual:

$$\begin{aligned} A_1 &= (m_1 l_1 + (m_2 + m_p) L_1) g \\ A_2 &= (m_2 l_2 + m_p L_1) g \end{aligned}$$

Resolvendo o sistema acima temos:

$$\begin{aligned} \theta_2 &= \pm \text{ArcCos} \left[ \frac{A_1 A_2 (\tau_1 - \tau_2) \tau_2 \pm \sqrt{A_1^2 A_2^2 (A_1^2 - (\tau_1 - \tau_2)^2) (A_2^2 - \tau_2^2)}}{A_1^2 A_2^2} \right] \\ \theta_1 &= \pm \text{ArcCos} \left[ \frac{\tau_1 - \tau_2}{A_1} \right] \end{aligned}$$

Quando os torques  $(\tau_1, \tau_2)$  são nulos, os pontos de equilíbrio são independentes das massas do sistema. São eles:

$$\begin{aligned} \theta_2 = 0, \theta_1 &= -\frac{\pi}{2} \text{ (estável)} \\ \theta_2 = 0, \theta_1 &= \frac{\pi}{2} \text{ (instável)} \\ \theta_2 = \pi, \theta_1 &= -\frac{\pi}{2} \text{ (instável)} \\ \theta_2 = \pi, \theta_1 &= \frac{\pi}{2} \text{ (instável)} \end{aligned}$$

Nota-se nas equações anteriores que os torques são máximos quando  $(\theta_1, \theta_2)$  são iguais a 0. Nessas condições, os torques necessários para segurar uma carga  $m_p$  nessa posição são:

$$\begin{aligned} \tau_1 &= 72.912, \tau_2 = 29.988 \rightarrow m_p = 4 \text{ kg} \\ \tau_1 &= 96.432, \tau_2 = 41.748 \rightarrow m_p = 6 \text{ kg} \end{aligned}$$

O sistema foi simulado em malha aberta visto na Figura 3, com os torques iguais a 0, e foi verificado que o sistema realmente tende ao primeiro equilíbrio apresentado acima.

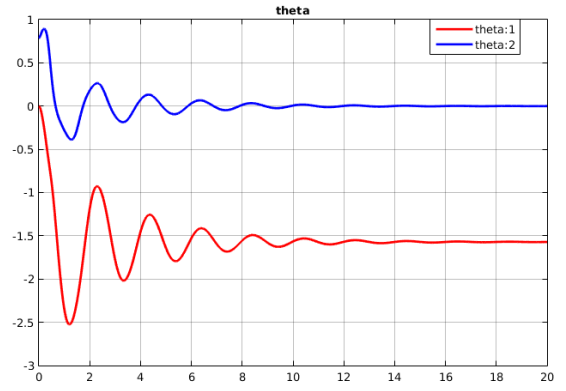


Fig. 3. Simulação em malha aberta com os torques nulos

### IV. CINEMÁTICA DIRETA E INVERSA

Para determinarmos um determinado ponto descrito em coordenadas cartesianas para o espaço de juntas utilizamos a cinemática inversa. Após o controle sobre o manipulador, calculamos a cinemática direta para definir a saída, a qual transforma do espaço de juntas (ângulos) novamente para o espaço cartesiano. Em seguida apresentamos uma breve descrição destes métodos.

#### A. Cinemática Direta

Na cinemática direta, partindo dos valores dos ângulos  $\theta_1$  e  $\theta_2$ , podemos obter as coordenadas cartesianas  $x$ ,  $y$  da extremidade do manipulador utilizando as seguintes equações:

$$\begin{cases} x = L_1 \cos \theta_1 + L_2 \cos(\theta_1 + \theta_2) \\ y = L_1 \sin \theta_1 + L_2 \sin(\theta_1 + \theta_2) \end{cases} \quad (2)$$

#### B. Cinemática inversa

A cinemática inversa em manipuladores de cadeia aberta é bem mais complexa. Agora é necessário fazer o caminho contrário para obter os ângulos das juntas, dada uma posição no espaço cartesiano.

Tendo definido a posição final do efetuador  $(P_x, P_y)$ , é possível obter os ângulos  $\theta_1$  e  $\theta_2$  do modo a seguir:

Já que a distância da base ao efetuador é definida como  $r = \sqrt{P_x^2 + P_y^2}$ , aplicamos a regra dos cossenos no triângulo formado por  $L_1$ ,  $L_2$  e  $r$ , onde  $\beta$  é o ângulo entre  $L_1$  e  $L_2$ :

$$\beta = \arccos \left( \frac{a_1^2 + a_2^2 - r^2}{2a_1 a_2} \right)$$

O ângulo beta é escolhido da seguinte maneira:

$$\begin{aligned} \pi < \beta < 0 &\rightarrow \text{(cotovelo para baixo)} \\ -\pi < \beta < 0 &\rightarrow \text{(cotovelo para cima)} \end{aligned}$$

Assim, é possível determinar o ângulo  $\theta_2$ .

$$\theta_2 = \pi - \beta$$

Sendo:

$$\alpha = \text{atan}\left(\frac{P_y}{P_x}\right)$$

$$\gamma = \text{acos}\left(\frac{L_1^2 - L_2^2 - r^2}{2L_1r}\right)$$

A escolha do sinal de  $\gamma$  é análoga a explicada para o ângulo  $\beta$ . Assim, obtém-se o ângulo da primeira junta:

$$\theta_1 = \alpha + \gamma$$

Logo, dado uma entrada  $(P_x, P_y)$  no espaço cartesiano, é possível obter os ângulos do espaço de juntas.

Ambas cinemáticas direta e inversa foram implementadas nas simulações no Matlab. A inversa para converter o ponto definido em coordenadas cartesianas como referência para o controle e planta que trabalham no espaço de juntas. Já a direta foi utilizada para retraduzir o resultado da planta em espaço de juntas para coordenadas cartesianas e permitir ser mostrado graficamente em coordenadas cartesianas no espaço.

## V. GERAÇÃO DE TRAJETÓRIA

A trajetória gerada como referência para o manipulador robótico consiste em um círculo centrado em  $(x_c, y_c) = (0.3, 0.3)$  e com raio  $r = 1/5$ . Para a construção da trajetória, são escolhidos  $n = 30$  pontos igualmente espaçados ao longo do círculo e, então, faz-se a interpolação dos pontos. Os pontos são calculados da seguinte forma:

$$P_x = x_c + r \cos(i\Delta\theta)$$

$$P_y = y_c + r \sin(i\Delta\theta)$$

onde  $\Delta\theta = 2\pi/n$  é o arco entre os pontos e  $0 < i < n$  é um dos  $n$  pontos. A figura 4 mostra a trajetória gerada para o manipulador.

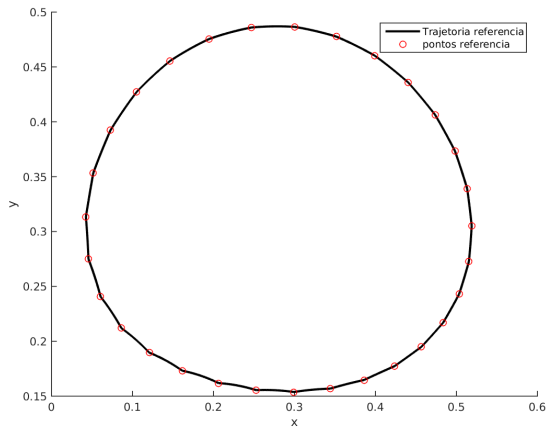


Fig. 4. Trajetória gerada

## VI. PROJETO DE CONTROLE

Nesta secção são apresentados os projetos de controle para seguimento de referência da trajetória gerada. Duas técnicas de controle não-linear são utilizadas: realimentação linearizante e controle de estrutura variável por modos deslizantes.

Primeiramente, reescrevemos a equação 1, definindo variáveis de estado com o intuito de facilitar o projeto dos controladores:

$$\begin{cases} x_1 = q \\ x_2 = \dot{q} \\ y = x_1 \end{cases} \rightarrow \begin{cases} \dot{x}_1 = x_2 \\ \dot{x}_2 = M(x_1)^{-1}[\tau - V(x_1, x_2) - G(x_1)] \end{cases} \quad (3)$$

### A. Realimentação Linearizante

Para linearizarmos o sistema de equações em 3, definimos uma variável de controle auxiliar  $v(t)$  tal que:

$$\begin{cases} \dot{x}_1 = x_2 \\ \dot{x}_2 = v(t) \end{cases} \quad (4)$$

Duas estruturas de controle são propostas para  $v(t)$ : a primeira consiste de uma ação proporcional e uma derivativa (PD) em relação ao erro de trajetória; na segunda, adiciona-se um termo integrador ao controlador.

1) PD: Propõe-se a seguinte estrutura para a variável de controle auxiliar:

$$v(t) = \ddot{y}_r + k_p(y_r - x_1) + k_d(\dot{y}_r - x_2) \quad (5)$$

$$= \ddot{y}_r + k_p e(t) + k_d \dot{e}(t) \quad (6)$$

Substituindo 6 em 4, temos

$$\ddot{e}(t) + k_d \dot{e}(t) + k_p e(t) = 0 \quad (7)$$

Da equação diferencial 7, temos a equação característica:

$$\lambda^2 + k_d \lambda + k_p = 0 \quad (8)$$

Podemos projetar um controlador com os seguintes requisitos:  $t_{5\%} = 0.3s$  e sem sobressinal. Assim, temos  $\xi = 1$ ,  $\omega_n = 10$  e a equação característica desejada:

$$\lambda^2 + 2\xi\omega_n\lambda + \omega_n^2 = \lambda^2 + 20\lambda + 100$$

Portanto,  $k_d = 20$  e  $k_p = 100$ . As figuras 5, 6 e 7 ilustram a simulação do seguimento de trajetória do manipulador utilizando a estrutura de controle por realimentação linearizante PD.

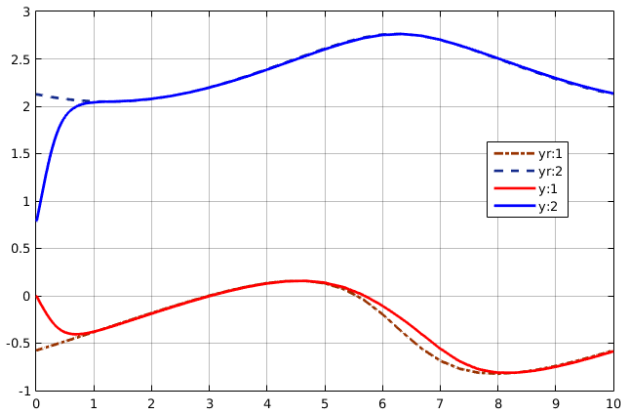


Fig. 5. Simulação PD - seguimento de trajetória (radianos)

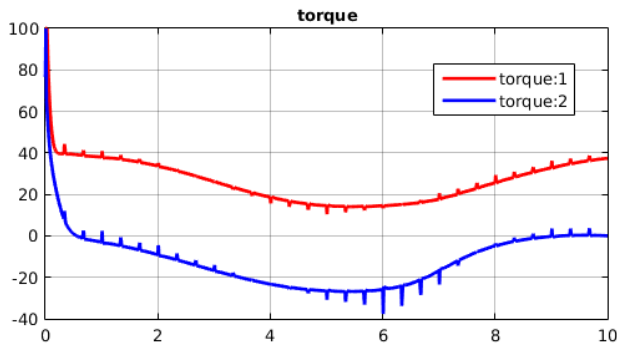


Fig. 6. Simulação PD - torque aplicado nas juntas

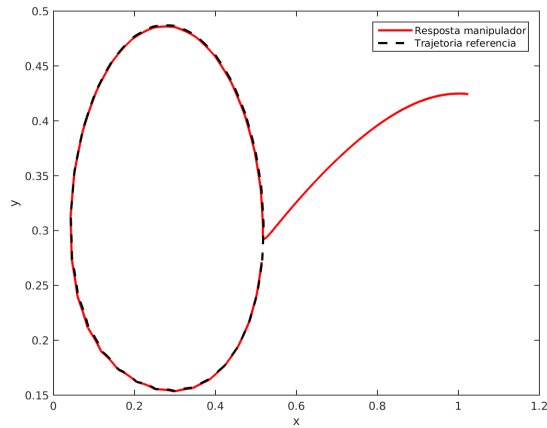


Fig. 7. Simulação PD - seguimento de trajetória

2) *PID*: Propõe-se uma nova estrutura para a variável de controle auxiliar, adicionando-se um termo integrativo:

$$v(t) = \ddot{y}_r + k_p(y_r - x_1) + k_d(\dot{y}_r - x_2) + k_i \int (y_r - x_1) dt \quad (9)$$

$$= \ddot{y}_r + k_p e(t) + k_d \dot{e}(t) + k_i \int e(t) dt \quad (10)$$

A mesma simulação para seguimento de trajetória foi feita, ajustando-se o parâmetro  $k_i = 1$ . As figuras 8, 9 e 10 mostram a simulação com a estrutura de controle por realimentação linearizante PID.

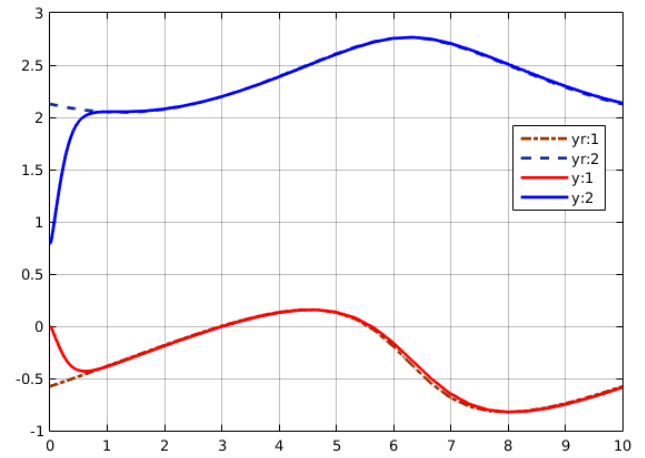


Fig. 8. Simulação PID - seguimento de trajetória (radianos)

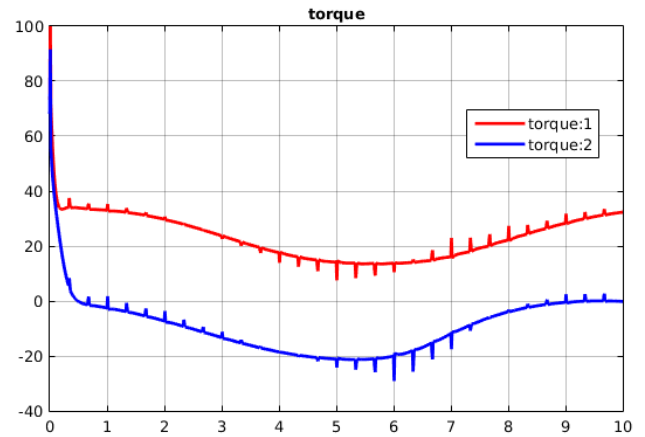


Fig. 9. Simulação PID - torque aplicado nas juntas

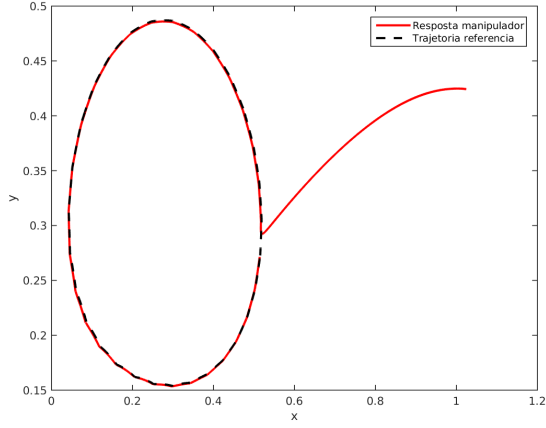


Fig. 10. Simulação PID - seguimento de trajetória

### B. Modos Deslizantes

Para a implementação do controlador com estrutura variável utilizando modos deslizantes foi considerada a seguinte função candidata de Lyapunov:

$$V = \frac{1}{2}\sigma^2 \quad (11)$$

onde  $\sigma = k_1(y_r - x_1) + k_2(\dot{y}_r - \dot{x}_2)$

Tomando-se a derivada da função de Lyapunov, temos:

$$\begin{aligned} \dot{V} &= \sigma \dot{\sigma} \\ &= \sigma(-k_1\dot{x}_1 - k_2\dot{x}_2) \\ &= \sigma[-k_1x_2 - k_2(M^{-1}(\tau - V - G))] \end{aligned}$$

Separamos o sinal de controle em  $\tau = \tau_{eq} + \tau_N$ . O primeiro termo ( $\tau_{eq}$ ) é destinado ao cancelamento da dinâmica não-linear do sistema, enquanto o segundo termo ( $\tau_N$ ) garante a estabilidade pela função de Lyapunov. Assim temos:

$$\tau_{eq} = -\frac{k_1}{k_2}Mx_2 + V + G \quad (12)$$

$$\dot{V} = -\sigma k_2 M^{-1}\tau_N < 0 \rightarrow \tau_N = \text{sign}(\sigma) \quad (13)$$

As figuras 11, 12 e 13 mostram a simulação com a estrutura de controle por variável utilizando modos deslizantes, com parâmetros ajustados em  $k_1 = 2$  e  $k_2 = 1$ .

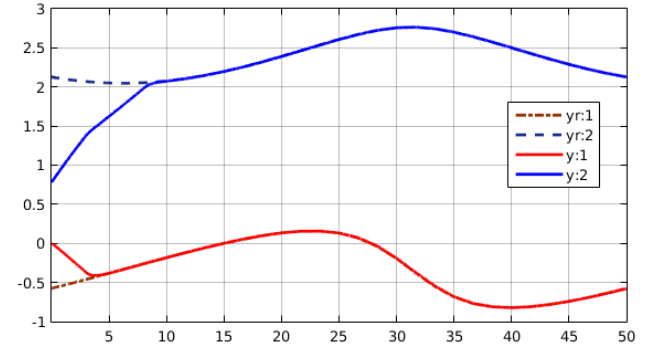


Fig. 11. Simulação Modos Deslizantes - seguimento de trajetória (radianos)

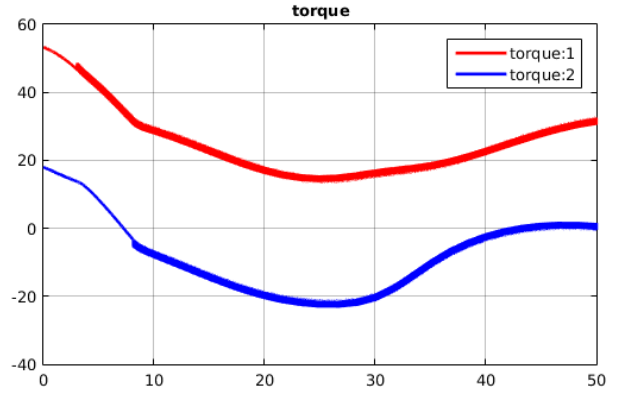


Fig. 12. Simulação Modos Deslizantes - torque aplicado nas juntas

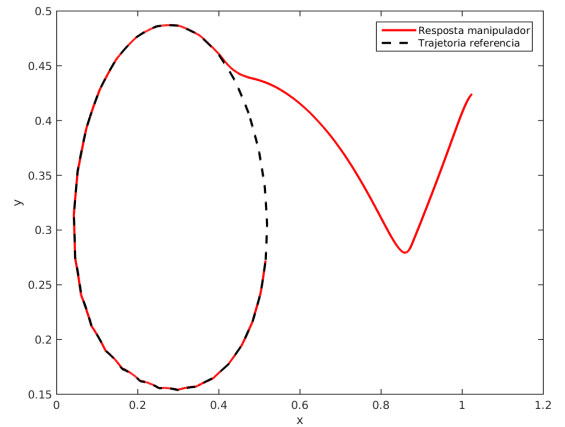


Fig. 13. Simulação Modos Deslizantes - seguimento de trajetória

1) *Anti-Chattering*: Com o intuito de eliminar o *chattering* introduzido na ação de controle (figura 12), propomos o cálculo do torque da seguinte forma:

$$\begin{aligned}\tau(t) &= \tau_{eq}(t) + \tau_N(t) \\ \tau_{eq}(t) &= \int \dot{\tau}_{eq}(t) dt \\ \dot{\tau}_{eq} &= \text{sign}(\sigma + \dot{\sigma})\end{aligned}$$

As figuras 14, 15 e 16 mostram a mesma simulação feita anteriormente para o controlador de estrutura variável com a adição da técnica de eliminação de *chattering*.

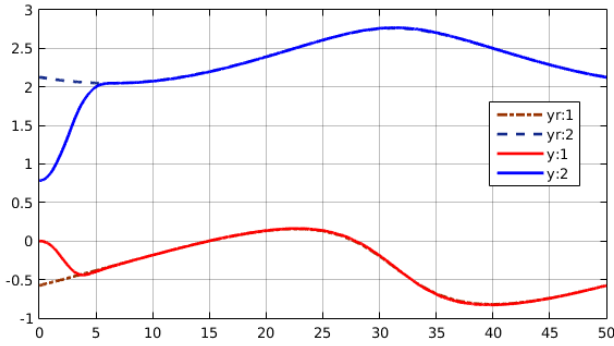


Fig. 14. Simulação com eliminação de chattering - seguimento de trajetória (radianos)

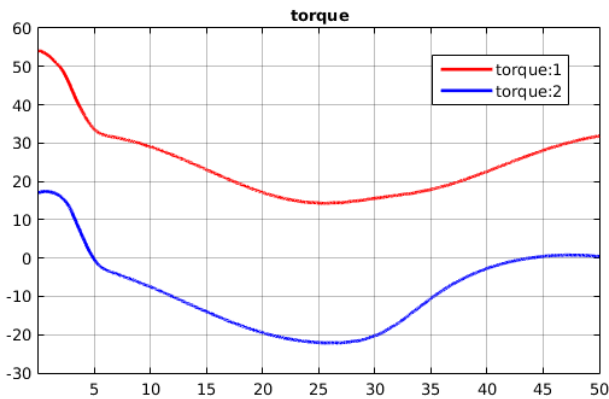


Fig. 15. Simulação com eliminação de chattering - torque aplicado nas juntas

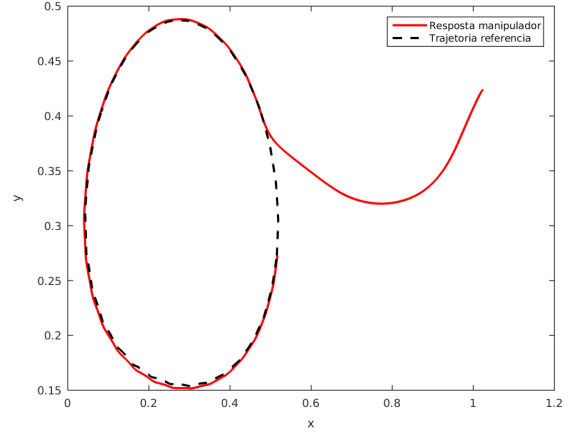


Fig. 16. Simulação com eliminação de chattering - seguimento de trajetória

## VII. CONCLUSÃO

O controle do manipulador robótico plano de dois graus de liberdade para seguimento de trajetória foi realizado através de técnicas de controle não-linear. Primeiro, a geração da trajetória do manipulador foi desenvolvida pela cinemática inversa. Com a trajetória proposta, controladores projetados através da técnica de realimentação linearizante foram implementados (PD e PID). Por último, a técnica de controle por modos deslizantes foi desenvolvida.

Através de simulações feitas no Matlab e Simulink, as implementações dos controladores puderam ser comparadas. Os desempenhos em relação ao seguimento da trajetória proposta foram considerados satisfatórios. O controlador PID demonstrou-se ser mais robusto em comparação com o PD. Quanto ao controle por estrutura variável, obtivemos respostas mais lentas no transitório da condição inicial do manipulador até a trajetória proposta. Com a técnica de eliminação do *chattering* nas ação dos torques das juntas, a implementação do controlador mostrou-se viável.

O trabalho feito ainda poderia ser expandido através da implementação de uma interface gráfica no Matlab, permitindo o seguimento de diferentes trajetórias, além da visualização dos resultados por animações do robô utilizando o *toolbox SimMechanics*. Além disso, uma análise de robustez mais rigorosa variando-se os parâmetros estimados no controlador pode ser feita. Por último, o cálculo da inversa da matriz de inércia precisa ser elaborado com os devidos cuidados para evitar situações de singularidade do manipulador.